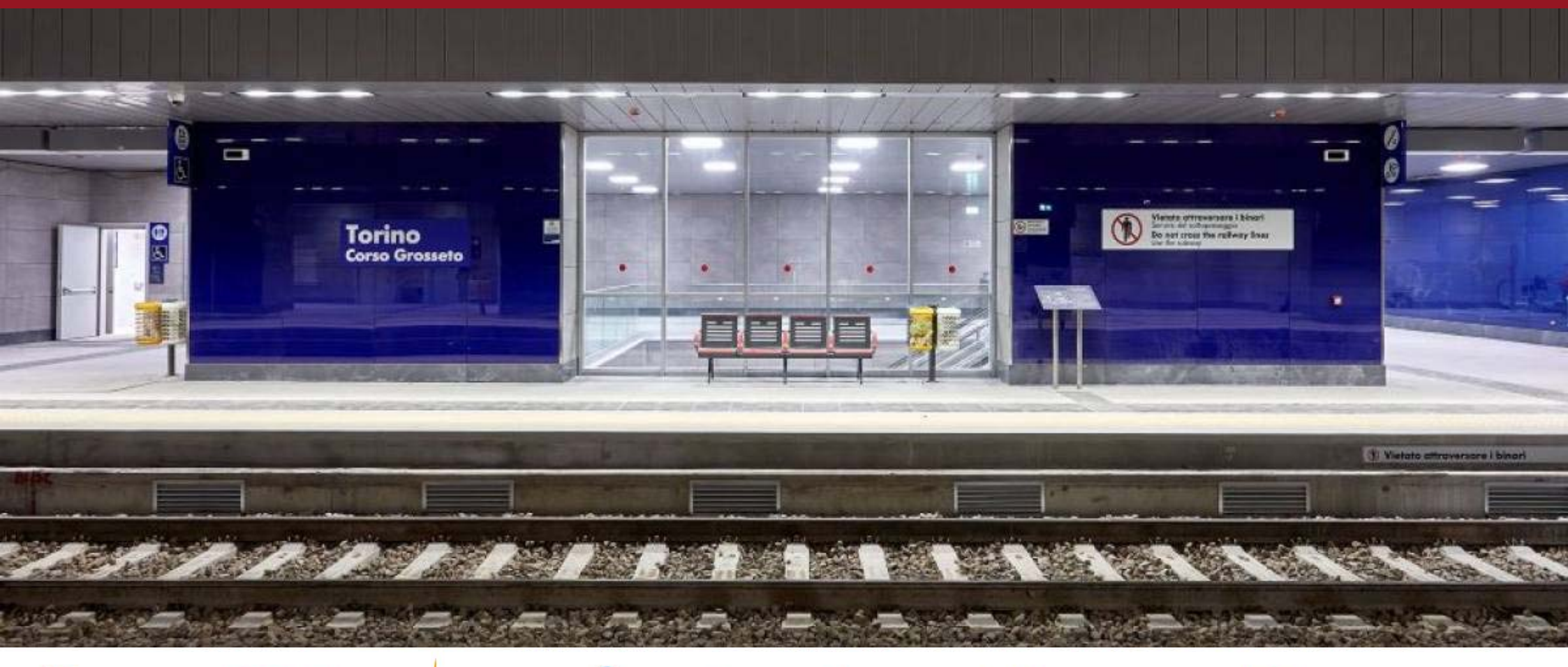
La ferrovia Torino - Ceres: un'interconnesione verso il futuro

TORINO 13 febbraio 2025







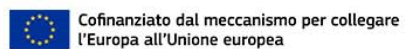












IL SITO DI PROVA, LE ATTIVITA' SPERIMENTALI E I POTENZIALI SVILUPPI DEL PROGETTO

Prof. Ing. Francesco Tondolo







Responsabile attività sperimentali









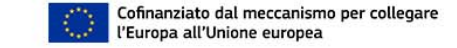










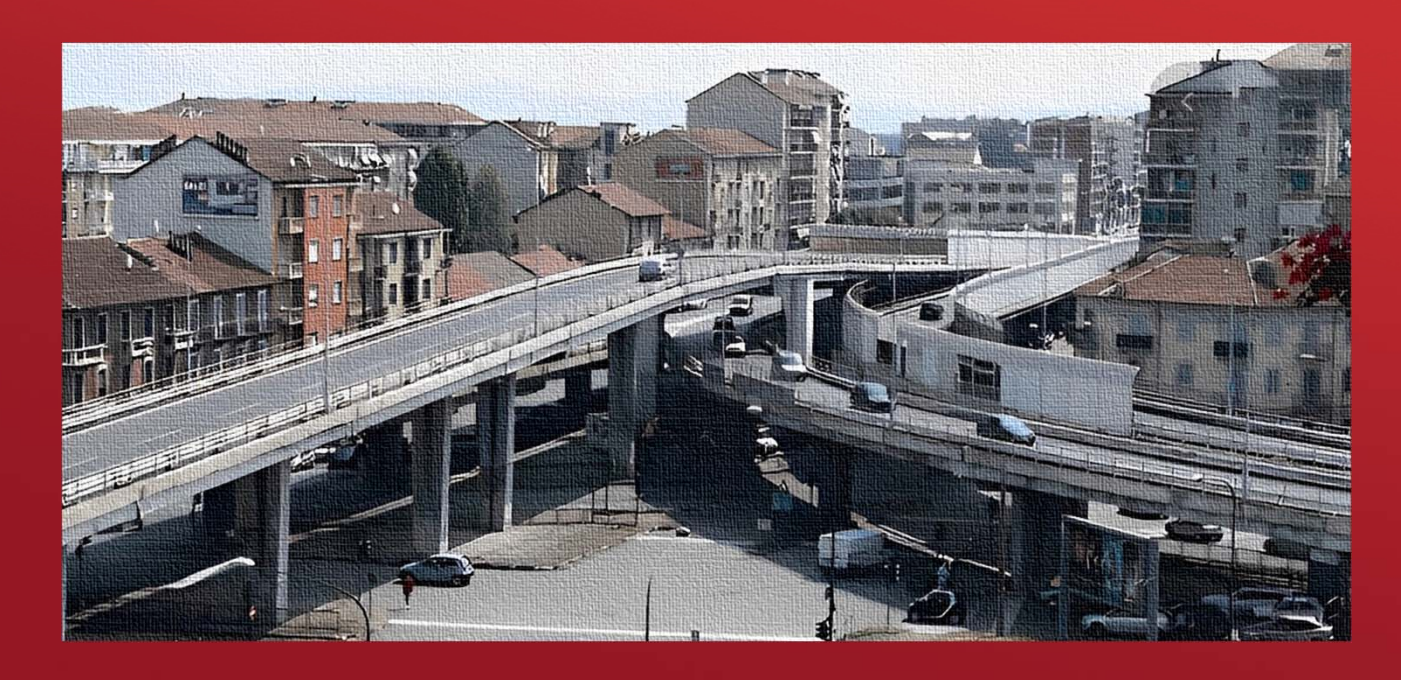








- La prima proposta progettuale prevedeva le attività direttamente in cantiere durante la demolizione
- Il ritrovamento di amianto sotto la pavimentazione e la successiva rimozione ha ritardato la demolizione e non ha più consentito di procedere in cantiere con le attività di progetto
- Era dunque necessario poter trovare un sito adeguato a svolgere gli studi specifici per cogliere una opportunità unica nel panorama mondiale









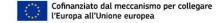
















- La prima proposta progettuale prevedeva le attività direttamente in cantiere durante la demolizione
- Il ritrovamento di amianto sotto la pavimentazione e la successiva rimozione ha ritardato la demolizione e non ha più consentito di procedere in cantiere con le attività di progetto
- Era dunque necessario poter trovare un sito adeguato a svolgere gli studi specifici per cogliere una opportunità unica nel panorama mondiale









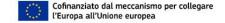










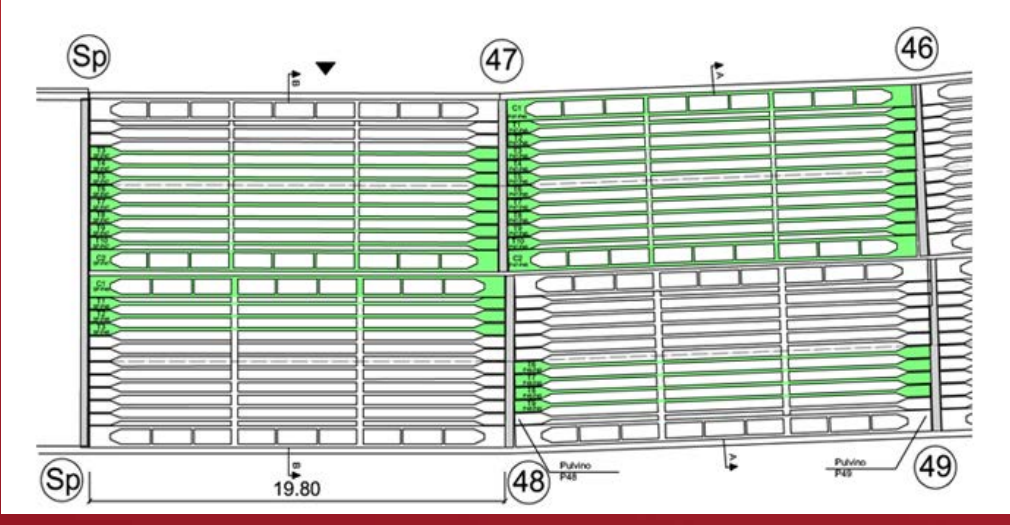


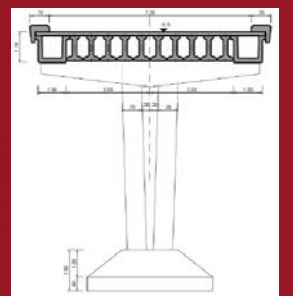


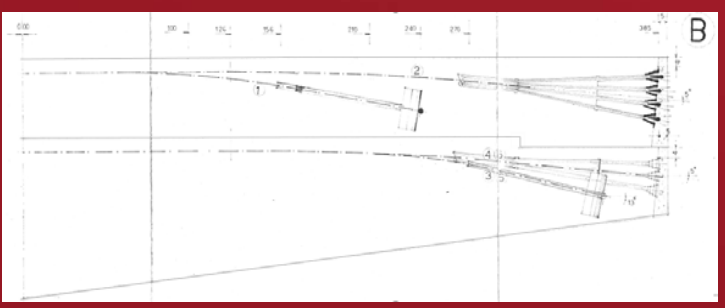


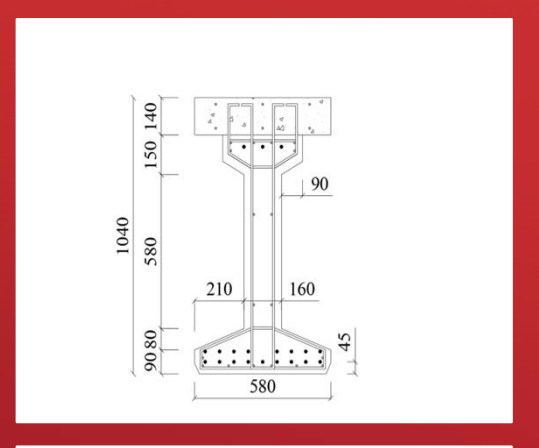
Dettaglio delle strutture disponibili per le attività sperimentali: prime due campate da spalla C.so Potenza:

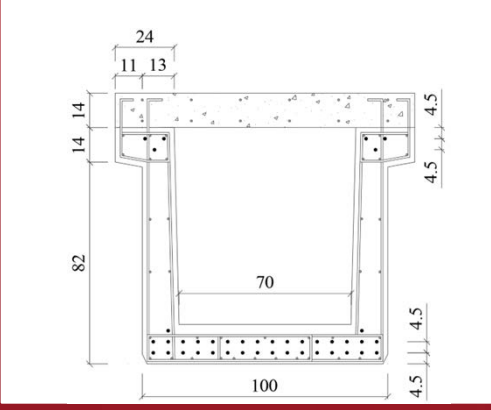
- sezioni tipo travi;
- sezione impalcato;
- dettaglio armatura pulvino.

















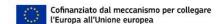
















TORINO 13 febbraio 2025

- ispezioni
- prelievi di campioni
- prove dinamiche su 4 impalcati























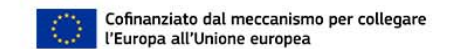
















- <u>ispezioni</u>
- prelievi di campioni
- prove dinamiche su 4 impalcati









NE-ON	NYS DEFT. OF TRANSPORTATION MAGIST ADVICTION REPORT SHEET Gr
PE NUMBER	~ @@@
STATE SWY, NO	- O ISSEE ISSEE LONG
TOTAL CHANG	OVER SUCT
HE INT POSTAGE - TL	-m-m
ARCHANIS AND MARK SOUR SOUR SOUR SOUR SOUR SOUR SOUR SOUR	March Marc
ACCES CARBONS Rus Made Made Made Made Made Made Made Made	-0-

	A TRANSPORT	through r	COPPE :	safeway:	er.	DIN.
549	e tox	_		Impedion type	Madre 5	nefinie
	n orde	les vis	-	Marc and Asserting		
1 . 10	CORNER PROPERTY.	Table Serve	printer:	May be surrough		
	AND REAL PROPERTY AND ADDRESS OF THE PARTY O	lan.		Description (
-			Period:			
-	HRM.	_	See mayor:		-	
1911	Description	Mark	Defect Desc	righters/September Mayor	PANTY	Esti
1	Signs	П				
,	Supervirueture/desk drainage	П				
,	Movement/expansion juints					
	Carriageway and deck surfacing					
1	Approach adequary	П				
	Guardissi(handrai)	П				
,	Read marking	П				
	Flood delots/segriation					
,	Scootlevalor	П				
10	Other delects					







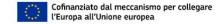
















- ispezioni
- prelievi di campioni
- prove dinamiche su 4 impalcati















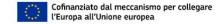
















- ispezioni
- prelievi di campioni
- prove dinamiche su 4 impalcati



















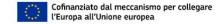
















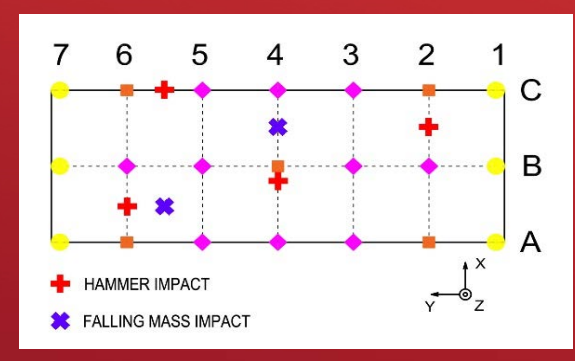
TORINO 13 febbraio 2025

Alcune attività del progetto sono comunque state eseguite in sito:

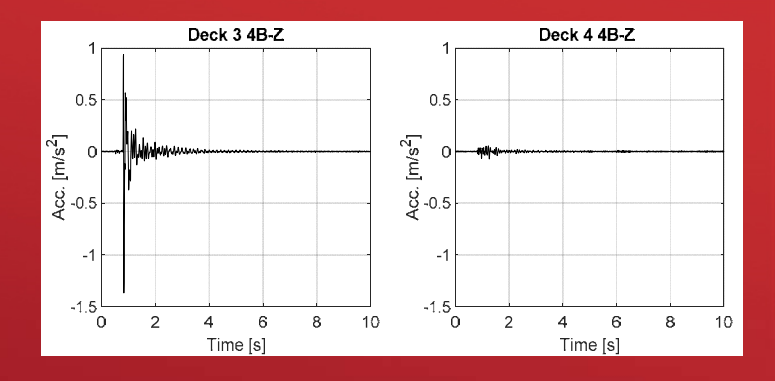
- ispezioni
- prelievi di campioni
- prove dinamiche su 4 impalcati

Schema degli accelerometri posizionati sull'impalcato

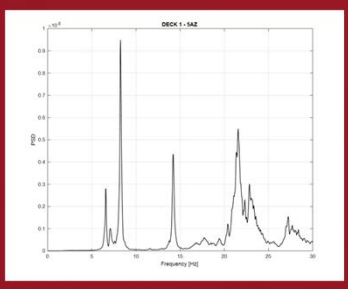


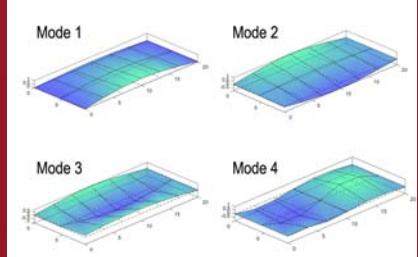


Segnali registrati da due impalcati adiacenti



Identificazione e model updating





Il confronto tra i modi sperimentali e quelli simulati con il FEM ha messo in luce la mancata collaborazione dei traversi. Questa ipotesi è poi stata confermata dopo il taglio delle travi.











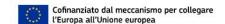
















Allestimento del sito di prova:

• il trasferimento degli elementi presso il sito di prova















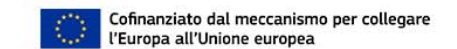
















Allestimento del sito di prova:

• trasporto – montaggio – collaudo del telaio di contrasto del centro SISCON del Politecnico di Torino

















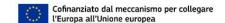
















Il telaio di prova del centro SISCON:

caratteristiche tecniche



- > Peso complessivo: 120 acciaio corten
- Smontabile in singoli elementi richiedenti trasporti di tipo ordinario
- Capacità di carico con due coppie di attuatori da 1200kN e corsa 750 mm
- Supporti e punti di applicazione del carico regolabili
- Appoggi Fip Mec specifici per grandi rotazioni e spostamenti







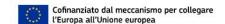














TORINO 13 febbraio 2025

Il progetto Bridge | 50 da Google Maps









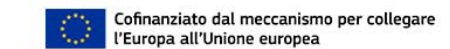












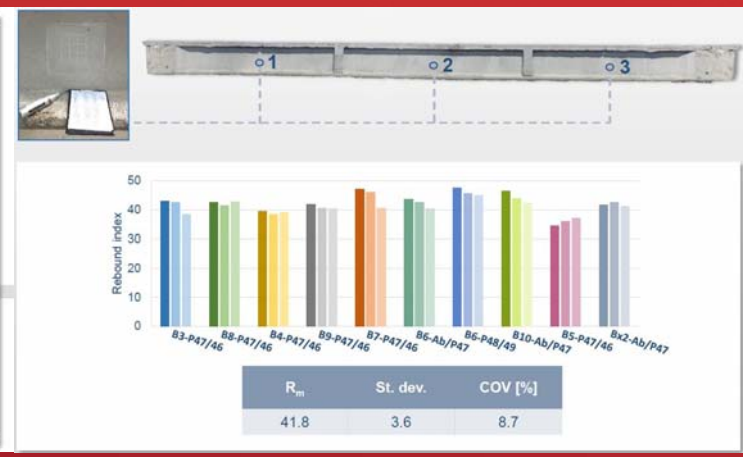




Attività diagnostiche in sito:

- indagini visive e mappature degli ammaloramenti con rilievi
- prove sclerometriche e pacometriche
- prove con ultrasuoni

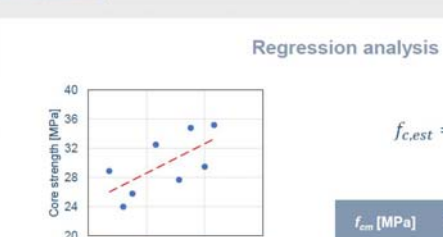




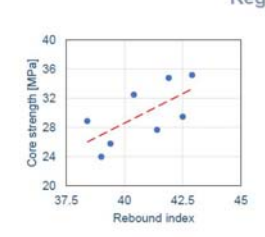














f _{cm} [MPa]	St. dev. [Mpa]	COV [%]
30.6	2.2	7.0







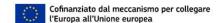














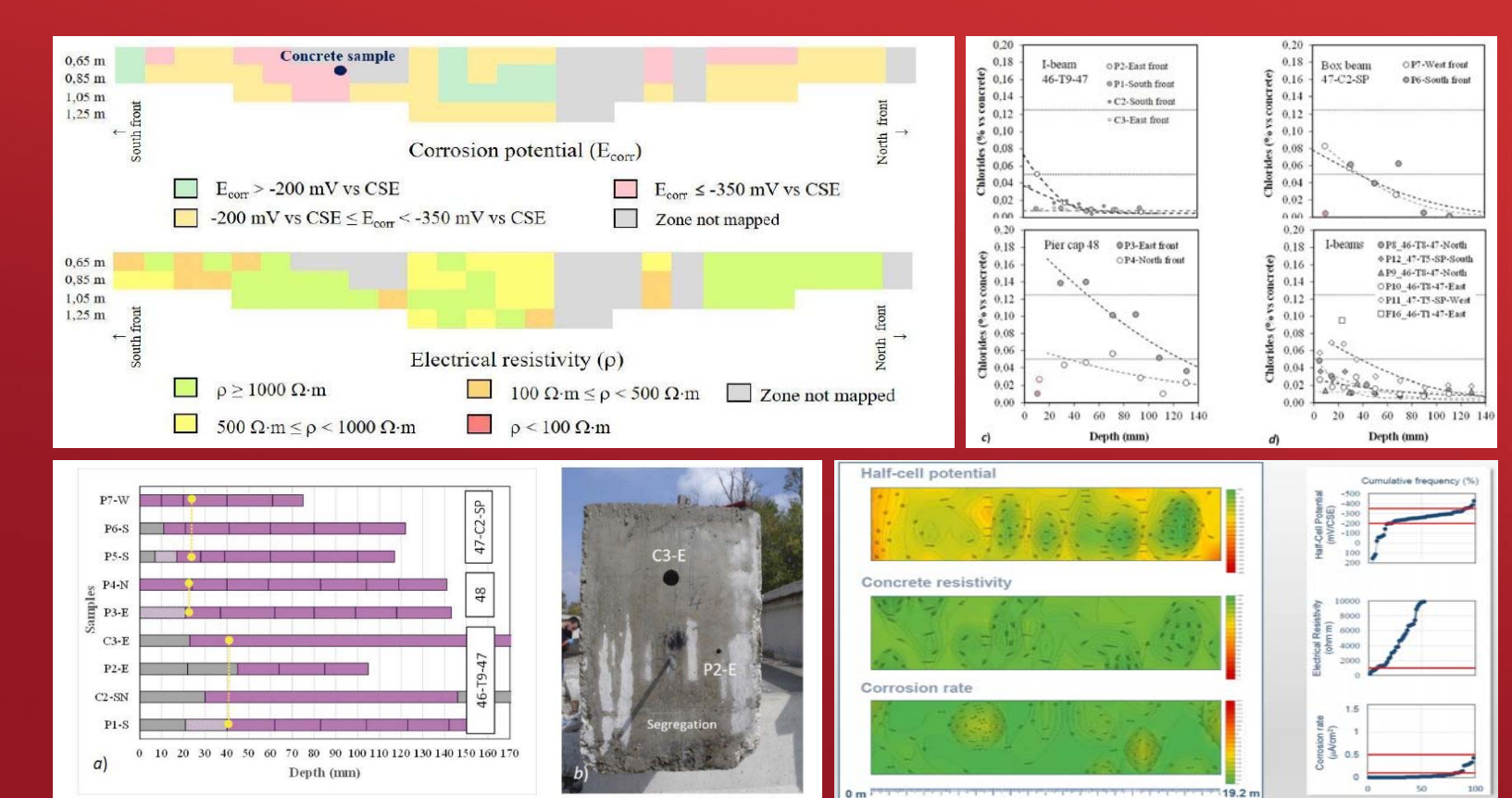


IL SITO DI PROVA, LE ATTIVITA' SPERIMENTALI E I POTENZIALI SVILUPPI DEL PROGETTO

Prof. Ing. Francesco Tondolo

Attività diagnostiche in sito:

- mappature di potenziale, resistività e stima della velocità di corrosione
- contenuto di cloruri
- profondità di carbonatazione









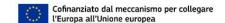


















Le attività in grande scala:

• le 17 travi testate finora

Loading test	Element Type	Element state	Point loads	Shear span [m]	No. of loading phases
1	I-beam with slab	Undamaged	3	9.2	2
2	I-beam with slab	Undamaged	3	9.2	2
3	I-beam with slab	Undamaged	3	9.2	1
4	I-beam	Undamaged	3	9.2	2
5	I-beam with slab	Undamaged	4	6.5	2
6	I-beam with slab	Undamaged	4	6.5	2
7	I-beam with slab	Damaged by dismantling	4	6.5	2
8	I-beam with slab	Damaged by dismantling	4	6.5	2
9	I-beam with slab	Controlled damage	4	6.5	2
10	Box-beam with slab	Undamaged	4	6.5	3
11	I-beam with slab	Undamaged	4	6.5	16
12	I-beam with slab	Undamaged	4	4.5	2
13	I-beam with slab	Undamaged	4/3	3	1
14	I-beam with slab	Undamaged	3	3	1
15	I-beam	Undamaged	3	3	1
16	I-beam with slab	Corroded	3	3	1
17	I-beam with slab	Undamaged	4	6.5	2













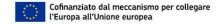










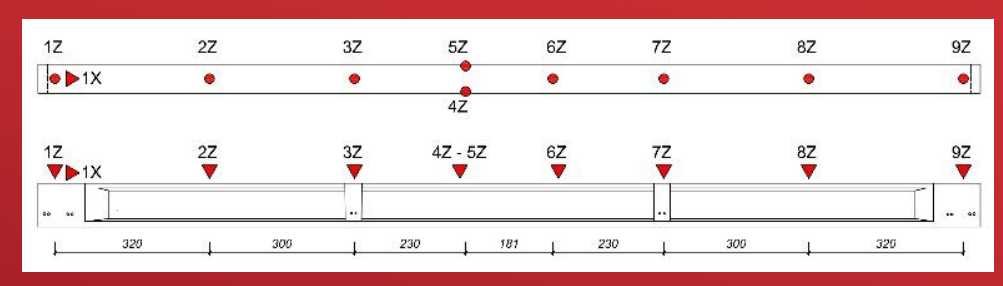






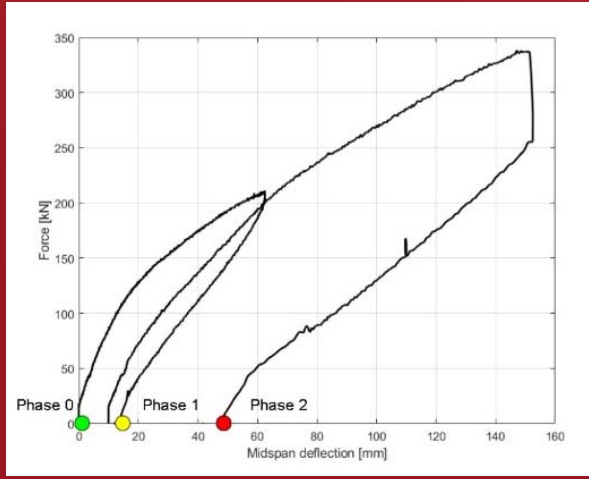
Le attività in grande scala:

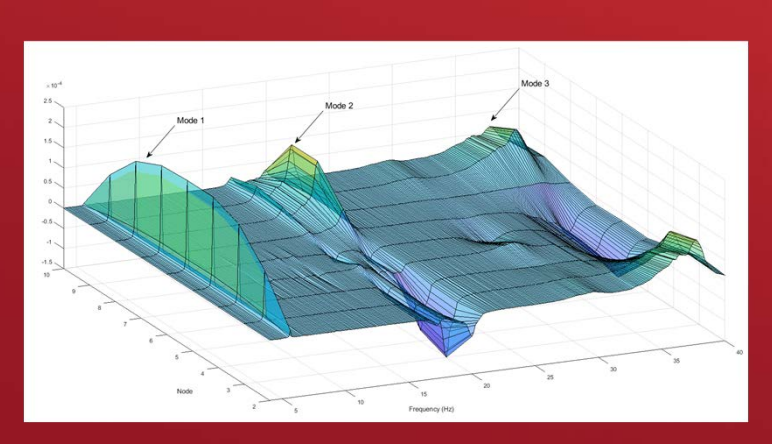
- Prove dinamiche su singole travi
- Prove statiche in esercizio e a collasso



Disposizione degli accelerometri







Fasi di acquisizione

Forme modali







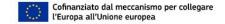












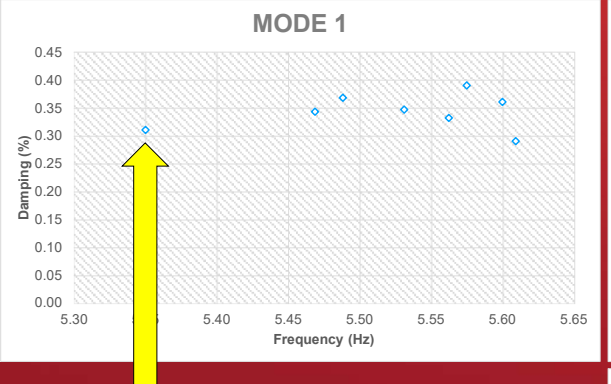




Le attività in grande scala:

- Prove dinamiche su singole travi
- Prove statiche in esercizio e a collasso

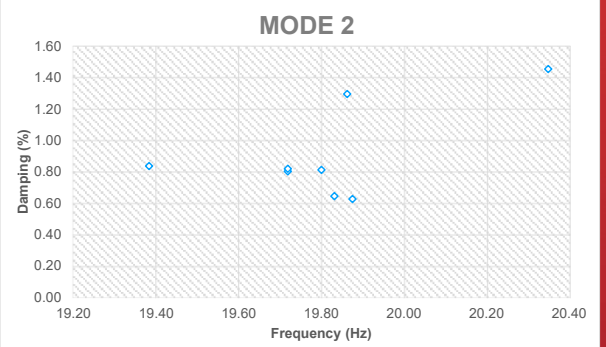
Modi di vibrare sperimentali

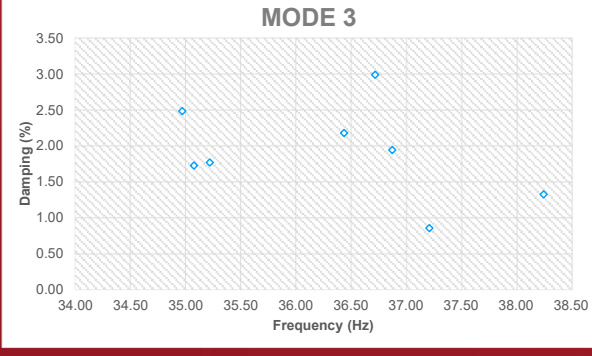






Rigidezza inferiore per il taglio di 8 trefoli in mezzeria











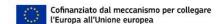












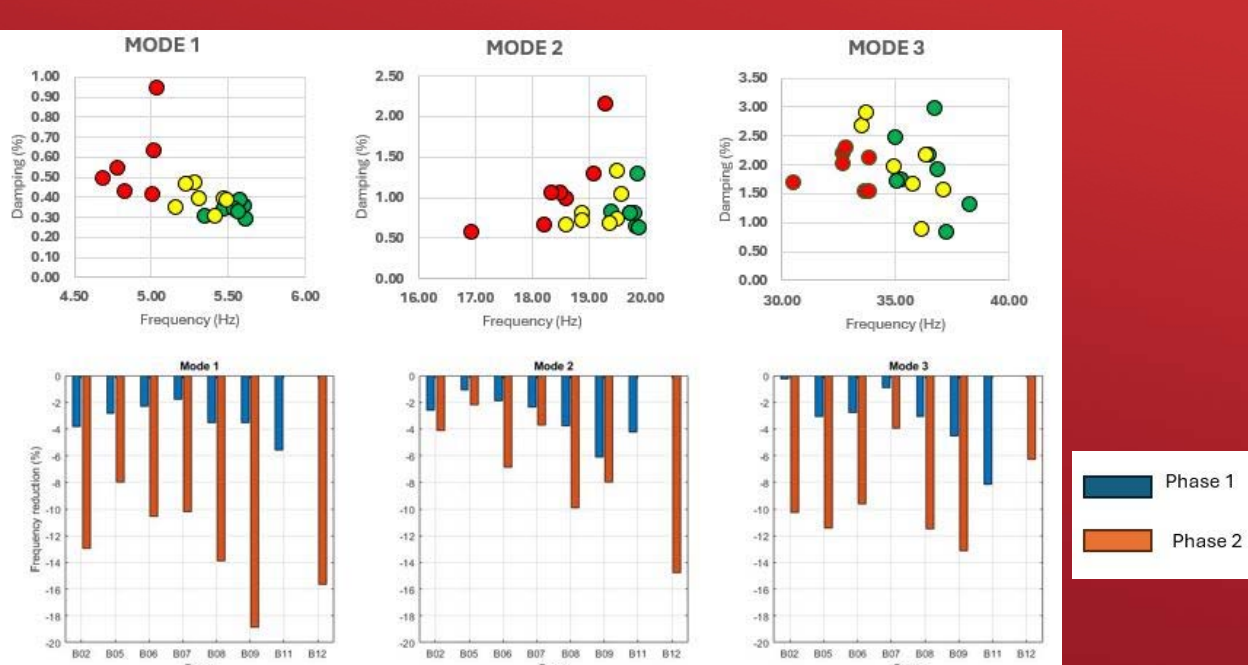




Le attività in grande scala:

- Prove dinamiche su singole travi
- Prove statiche in esercizio e a collasso

Grafici frequenza-smorzamento



Confronto tra le variazioni di frequenze sui vari modi







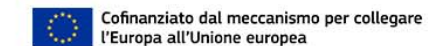
















Le attività in grande scala:

- Prove dinamiche su singole travi
- Prove statiche in esercizio e a collasso

Strumentazione tipo utilizzata:

- 6+6 LVDT e 2 estensimetri elettrici nella zona a momento costante;
- 8+8 LVDT lungo la luce di taglio;
- 4 LVDT per misurare l'eventuale cedimento degli appoggi e lo scorrimento dei trefoli
- 9 dispositivi potenziometrici per misurare gli abbassamenti lungo la trave
- celle di carico per la misura dell'entità delle forze trasmesse dal telaio a campione di prova.









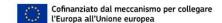
















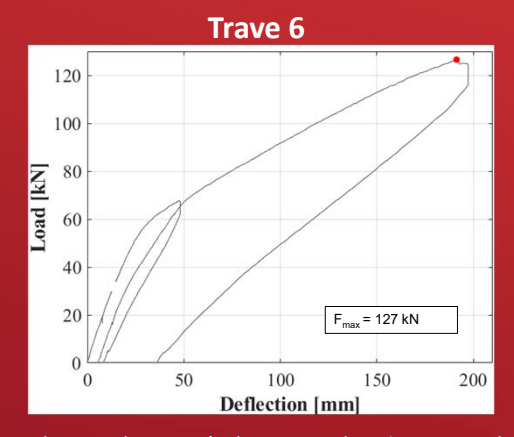
SISCON

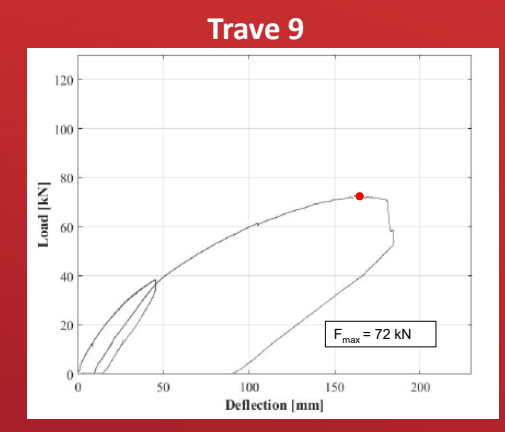
Le attività in grande scala:

- Prove dinamiche su singole travi
- Prove statiche in esercizio e a collasso: approfondimento su travi 6-9-10-11

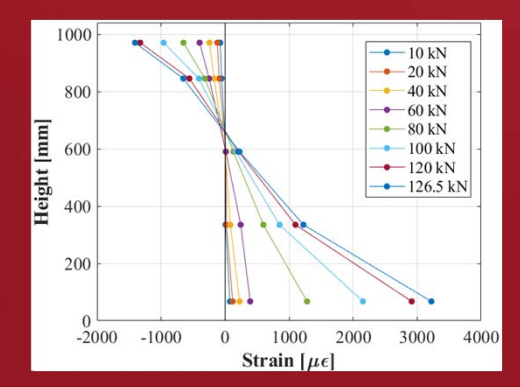


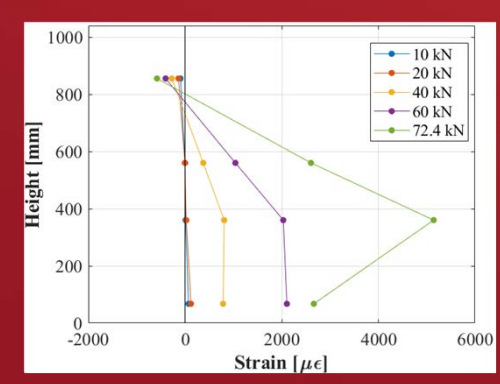
Dettaglio di trave 9 danneggiata artificialmente con 8 trefoli tagliati nella mezzeria





Riduzione di capacità ultima pari al 43% rispetto ad un elemento testato nelle medesime condizioni in assenza di danneggiamenti







Modifica sostanziale della risposta strutturale: posizione dell'asse neutro







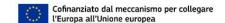














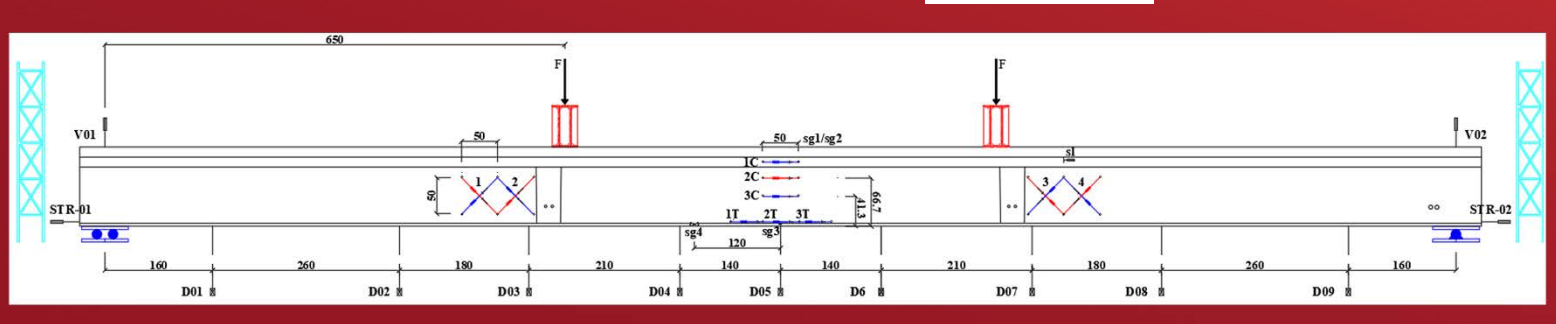




Le attività in grande scala:

- Prove dinamiche su singole travi
- Prove statiche in esercizio e a collasso: approfondimento su travi 6-9-10-11

Trave 10 cassone



Schema dispositivi di misura

LVDT
Rectilinear displ. transducer
Rectilinear displ. transducer
Wire displ. transducer

A B SH1-4 A Tensile shear strain
SH1-4 B Compressive shear strain
SH5-8 A Compressive shear strain
SH5-8 B Tensile shear strain













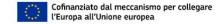












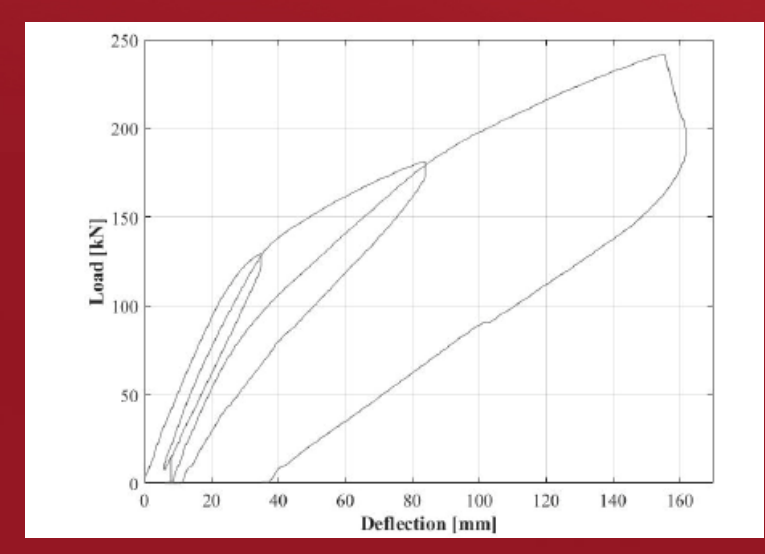




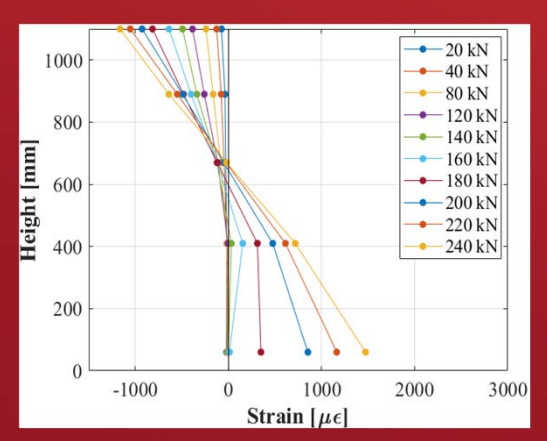
Le attività in grande scala:

- Prove dinamiche su singole travi
- Prove statiche in esercizio e a collasso: approfondimento su travi 6-9-10-11

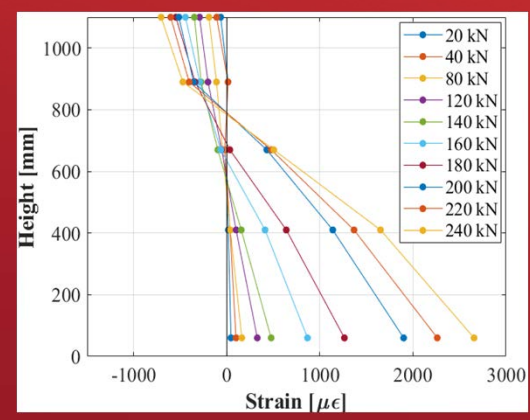
Trave 10 box











Deformazioni esterno







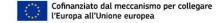
















Le attività in grande scala:

- Prove dinamiche su singole travi
- Prove statiche in esercizio e a collasso: approfondimento su travi 6-9-10-11



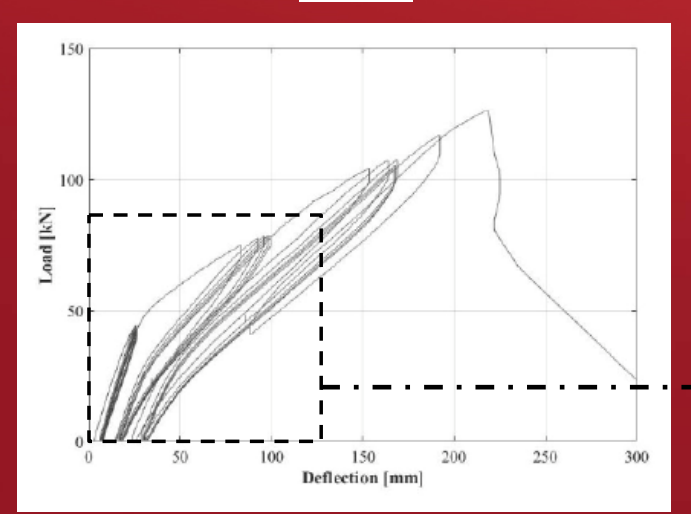


Diagramma carico freccia

Trave 11

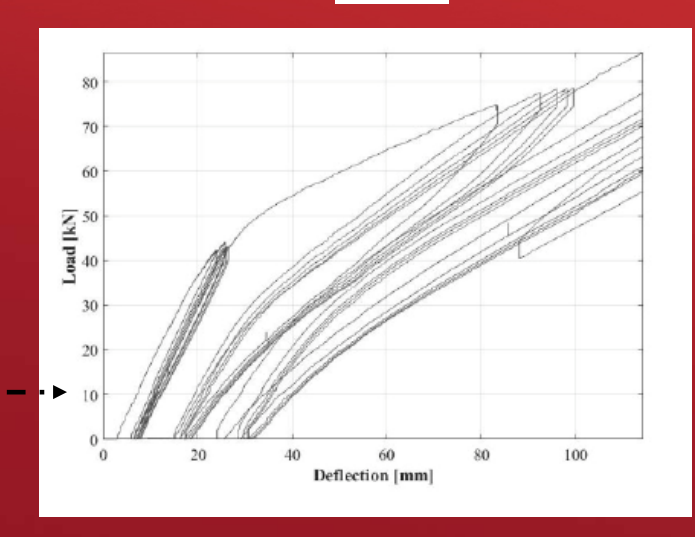


Diagramma carico freccia - dettaglio







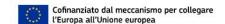












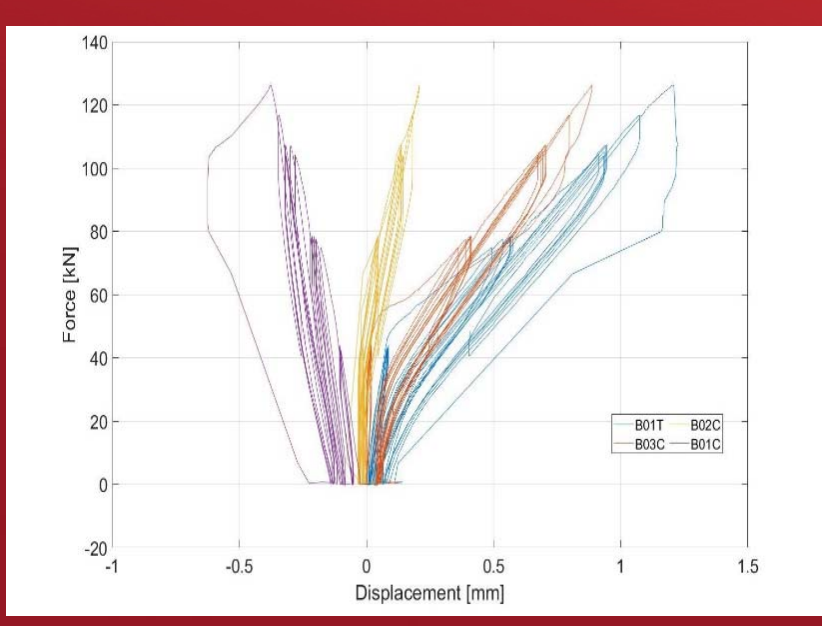




Le attività in grande scala:

- Prove dinamiche su singole travi
- Prove statiche in esercizio e a collasso: approfondimento su travi 6-9-10-11

Trave 11



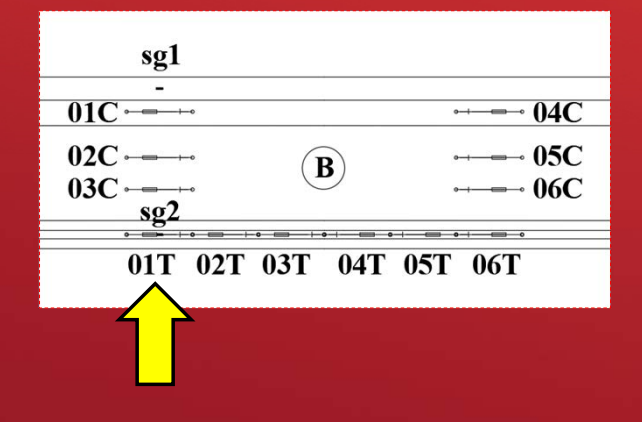


Diagramma forza-spostamento dei trasduttori longitudinali in zona tesa e compressa







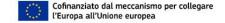












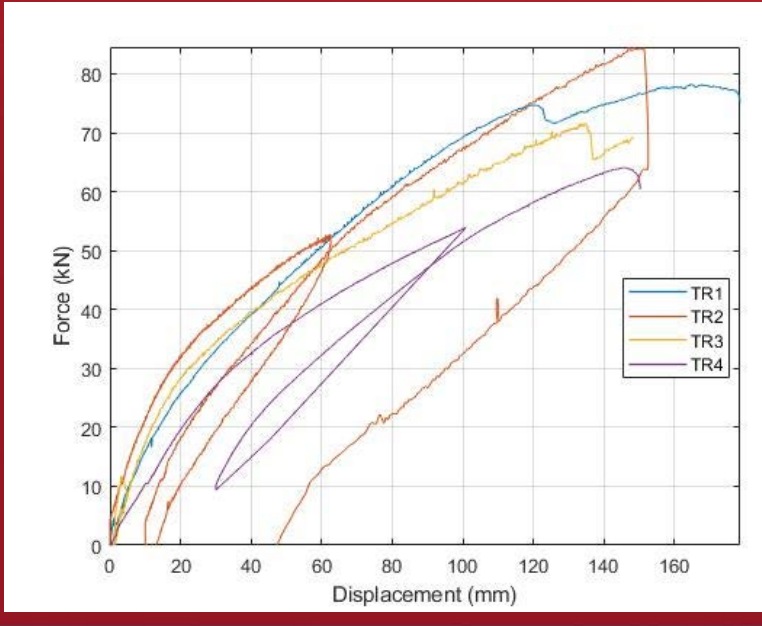




Le attività in grande scala:

- Prove dinamiche su singole travi
- Prove statiche in esercizio e a collasso: grafici carico-spostamento in mezzeria

Travi su 3 punti (rottura per flessione)



Loading test	Element Type	Element state	Point loads	Shear span [m]	No. of loading phases
1	I-beam with slab	Undamaged	3	9.2	2
2	I-beam with slab	Undamaged	3	9.2	2
3	I-beam with slab	Undamaged	3	9.2	1:
4	I-beam	Undamaged	3	9.2	2
5	I-beam with slab	Undamaged	4	6.5	2
6	I-beam with slab	Undamaged	4	6.5	2
7	I-beam with slab	Damaged by dismantling	4	6.5	2
8	I-beam with slab	Damaged by dismantling	4	6.5	2
9	I-beam with slab	Controlled damage	4	6.5	2
10	Box-beam with slab	Undamaged	4	6.5	3
11	I-beam with slab	Undamaged	4	6.5	16
12	I-beam with slab	Undamaged	4	4.5	2
13	I-beam with slab	Undamaged	4/3	3	1.
14	I-beam with slab	Undamaged	3	3	1
15	I-beam	Undamaged	3	3	1
16	I-beam with slab	Corroded	3	3	1
17	I-beam with slab	Undamaged	4	6.5	2







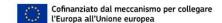












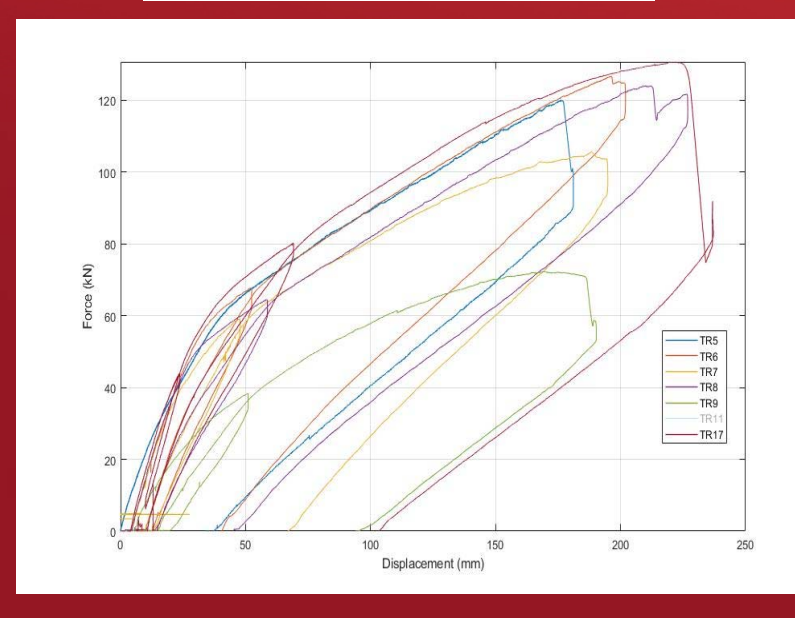




Le attività in grande scala:

- Prove dinamiche su singole travi
- Prove statiche in esercizio e a collasso: grafici carico-spostamento in mezzeria

Travi su 4 punti (rottura per flessione)



Loading test	Element Type	Element state	Point loads	Shear span [m]	No. of loading phases
1	I-beam with slab	Undamaged	3	9.2	2
2	I-beam with slab	Undamaged	3	9.2	2
3	I-beam with slab	Undamaged	3	9.2	1
4	I-beam	Undamaged	3	9.2	2
5	I-beam with slab	Undamaged	4	6.5	2
6	I-beam with slab	Undamaged	4	6.5	2
7	I-beam with slab	Damaged by dismantling	4	6.5	2
8	I-beam with slab	Damaged by dismantling	4	6.5	2
9	I-beam with slab	Controlled damage	4	6.5	2
10	Box-beam with slab	Undamaged	4	6.5	3
11	I-beam with slab	Undamaged	4	6.5	16
12	I-beam with slab	Undamaged	4	4.5	2
13	I-beam with slab	Undamaged	4/3	3	1
14	I-beam with slab	Undamaged	3	3	1
15	I-beam	Undamaged	3	3	1.
16	I-beam with slab	Corroded	3	3	1
17	I-beam with slab	Undamaged	4	6.5	2







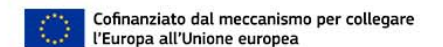












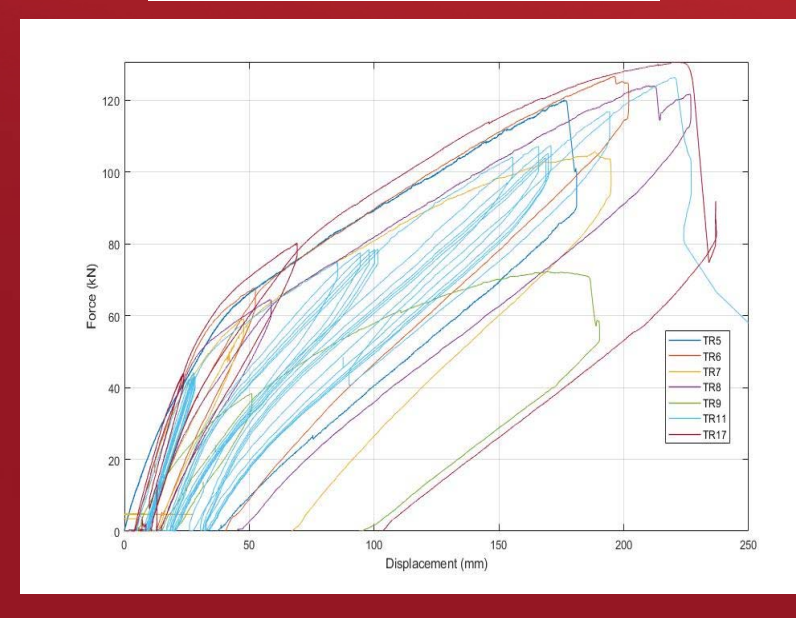




Le attività in grande scala:

- Prove dinamiche su singole travi
- Prove statiche in esercizio e a collasso: grafici carico-spostamento in mezzeria

Travi su 4 punti (rottura per flessione)



Loading test	Element Type	Element state	Point loads	Shear span [m]	No. of loading phases
1	I-beam with slab	Undamaged	3	9.2	2
2	I-beam with slab	Undamaged	3	9.2	2
3	I-beam with slab	Undamaged	3	9.2	1
4	I-beam	Undamaged	3	9.2	2
5	I-beam with slab	Undamaged	4	6.5	2
6	I-beam with slab	Undamaged	4	6.5	2
7	I-beam with slab	Damaged by dismantling	4	6.5	2
8	I-beam with slab	Damaged by dismantling	4	6.5	2
9	I-beam with slab	Controlled damage	4	6.5	2
10	Box-beam with slab	Undamaged	4	6.5	3
11	I-beam with slab	Undamaged	4	6.5	16
12	I-beam with slab	Undamaged	4	4.5	2
13	I-beam with slab	Undamaged	4/3	3	1
14	I-beam with slab	Undamaged	3	3	1
15	I-beam	Undamaged	3	3	1
16	I-beam with slab	Corroded	3	3	1
17	I-beam with slab	Undamaged	4	6.5	2







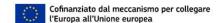
















Le attività in grande scala:

- Prove dinamiche su singole travi
- Prove statiche in esercizio e a collasso: grafici carico-spostamento in mezzeria

Travi su 3 punti (rottura per taglio)



Loading test	Element Type	Element state	Point loads	Shear span [m]	No. of loading phases
1	I-beam with slab	Undamaged	3	9.2	2
2	I-beam with slab	Undamaged	3	9.2	2
3	I-beam with slab	Undamaged	3	9.2	1
4	I-beam	Undamaged	3	9.2	2
5	I-beam with slab	Undamaged	4	6.5	2
6	I-beam with slab	Undamaged	4	6.5	2
7	I-beam with slab	Damaged by dismantling	4	6.5	2
8	I-beam with slab	Damaged by dismantling	4	6.5	2
9	I-beam with slab	Controlled damage	4	6.5	2
10	Box-beam with slab	Undamaged	4	6.5	3
11	I-beam with slab	Undamaged	4	6.5	16
12	I-beam with slab	Undamaged	4	4.5	2
13	I-beam with slab	Undamaged	4/3	3	1
14	I-beam with slab	Undamaged	3	3	1
15	I-beam	Undamaged	3	3	1
16	I-beam with slab	Corroded	3	3	1
17	I-beam with slab	Undamaged	4	6.5	2







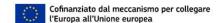










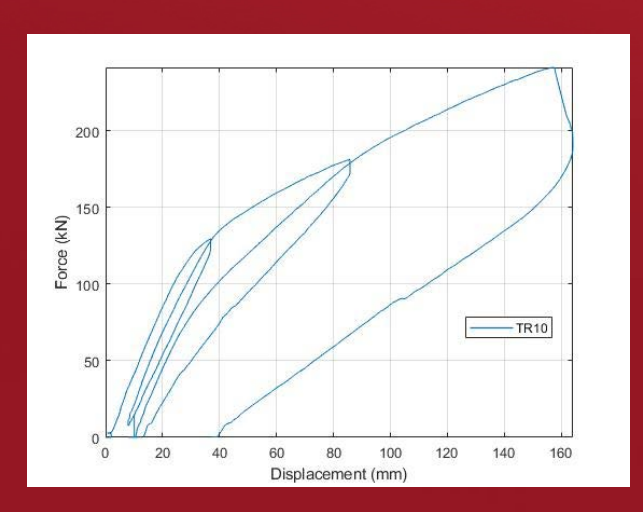




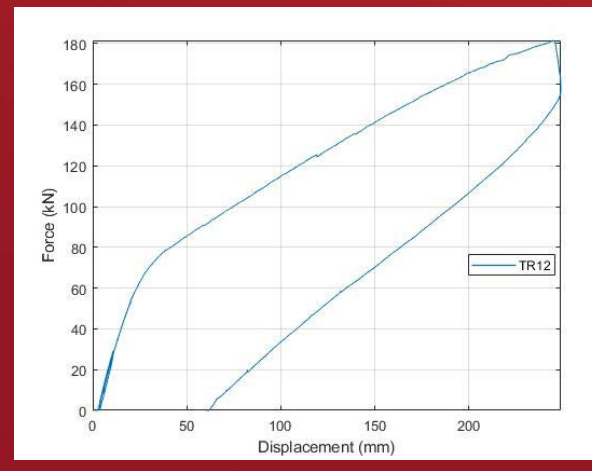


Le attività in grande scala:

- Prove dinamiche su singole travi
- Prove statiche in esercizio e a collasso: grafici carico-spostamento in mezzeria



Trave 10 box e trave 12



Loading test	Element Type	Element state	Point loads	Shear span [m]	No. of loading phases
1	I-beam with slab	Undamaged	3	9.2	2
2	I-beam with slab	Undamaged	3	9.2	2
3	I-beam with slab	Undamaged	3	9.2	1
4	I-beam	Undamaged	3	9.2	2
5	I-beam with slab	Undamaged	4	6.5	2
6	I-beam with slab	Undamaged	4	6.5	2
7	I-beam with slab	Damaged by dismantling	4	6.5	2
8	I-beam with slab	Damaged by dismantling	4	6.5	2
9	I-beam with slab	Controlled damage	4	6.5	2
10	Box-beam with slab	Undamaged	4	6.5	3
11	I-beam with slab	Undamaged	4	6.5	16
12	I-beam with slab	Undamaged	4	4.5	2
13	I-beam with slab	Undamaged	4/3	3	1
14	I-beam with slab	Undamaged	3	3	1
15	I-beam	Undamaged	3	3	1
16	I-beam with slab	Corroded	3	3	1
17	I-beam with slab	Undamaged	4	6.5	2







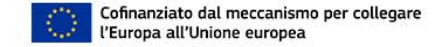
















Le attività in grande scala:









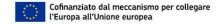
















Le attività in grande scala:















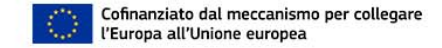
















Le attività in grande scala:









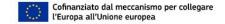


















Le attività in grande scala:













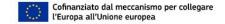
















TORINO 13 febbraio 2025

Le attività in grande scala:









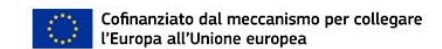








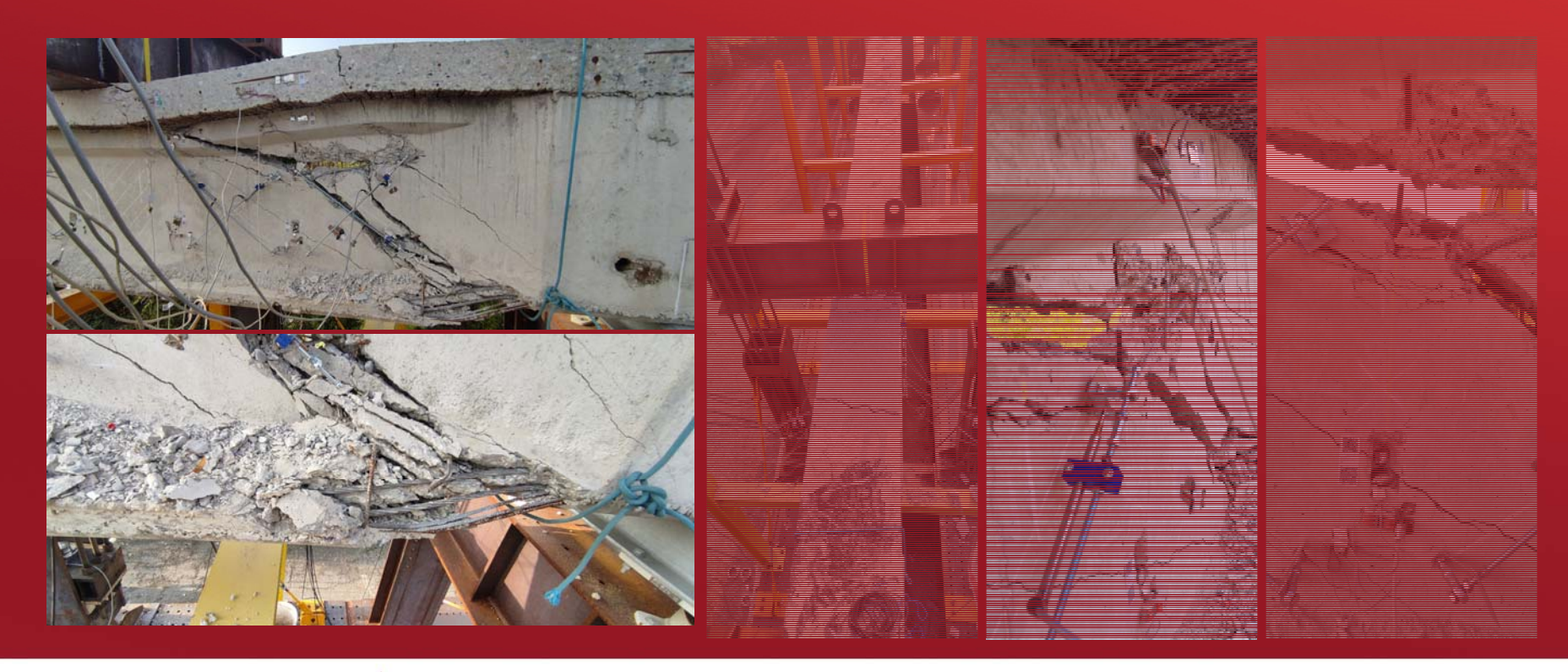








Le attività in grande scala:









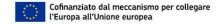










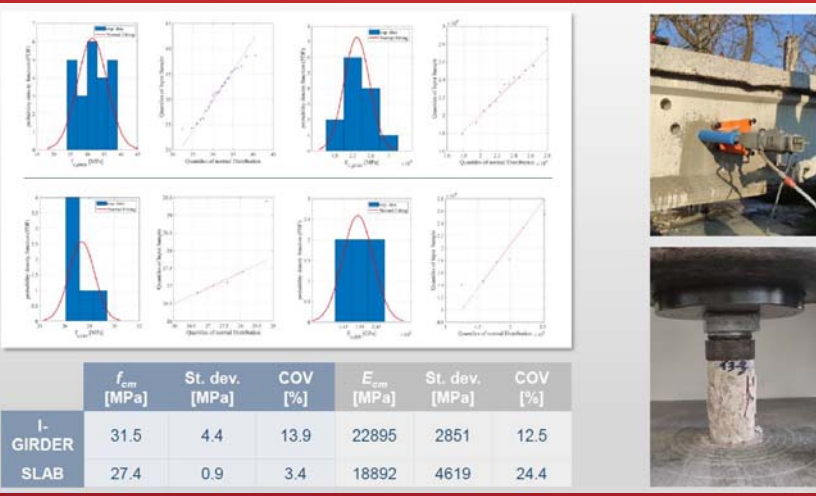


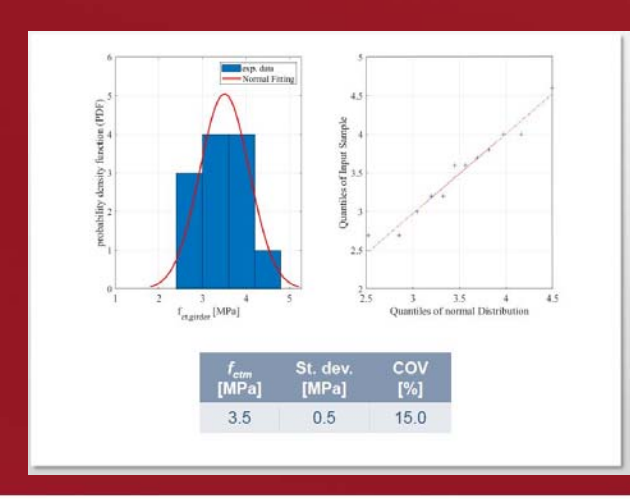




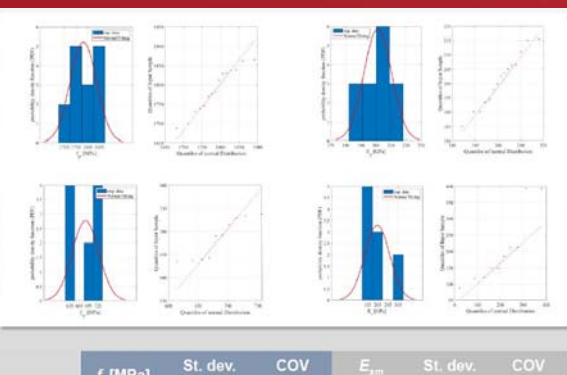
Attività diagnostiche distruttive:

• prelievo di campioni di materiali

























1786.9

41.0

44.3

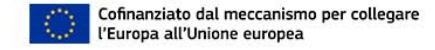


201.1

3.1

103.1

8.9

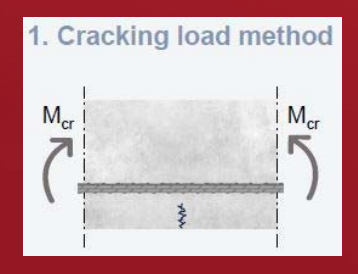




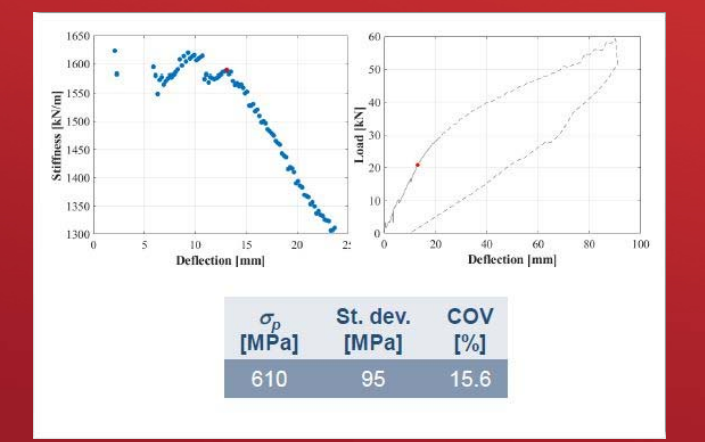


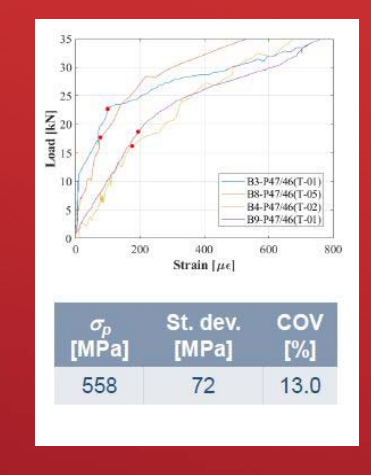
Attività diagnostiche: la valutazione della precompressione residua

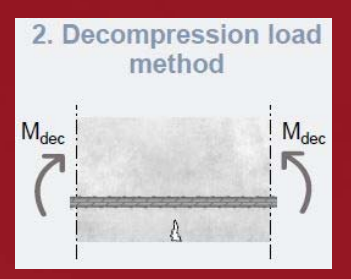
- 1. fessurazione cracking load method;
- decompressione decompression load method;
 rilascio tensionale nel cls saw cut method;
- 4. rilascio tensionale sull'acciaio strand cut method.



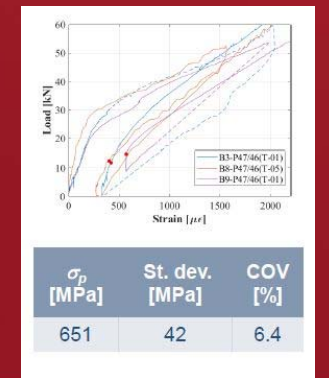








$$\frac{N_p}{A_g} + \frac{N_p \cdot e}{I_g} y_g + \frac{M_{sw}}{I_g} y_g + \frac{M_{dec}}{I_c} y_c = 0 \qquad \longrightarrow \qquad \mathbf{M_{dec}} = ?$$









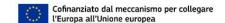










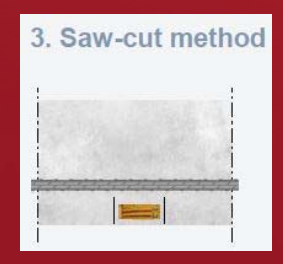






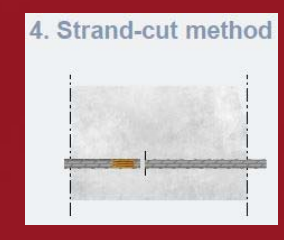
Attività diagnostiche: la valutazione della precompressione residua

- 1. fessurazione cracking load method;
- decompressione decompression load method;
 rilascio tensionale nel cls saw cut method;
- 4. rilascio tensionale sull'acciaio strand cut method.



$$\frac{N_p}{A_g} + \frac{N_p \cdot e}{I_g} y_g + \frac{M_{sw}}{I_g} y_g = E_c \cdot \mathbf{\varepsilon_{c,meas}}$$

$\sigma_{\!p}$	St. dev.	cov
[MPa]	[MPa]	[%]
623	158	25.3



$$\sigma_p = E_p \cdot \boldsymbol{\varepsilon_{p,meas}}$$

$\sigma_{\!p}$	St. dev.	COV
[MPa]	[MPa]	[%]
591	85	14.3







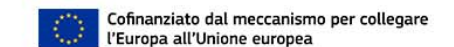
















Conclusioni e sviluppi futuri

- Le attività sperimentali del progetto Bridge | 50 sono uniche al mondo in particolare per la possibilità di eseguire test in scala reale su un gran numero di elementi con 50 anni di età;
- I dati relativi al comportamento dei materiali e degli elementi in cap sono di grande valore per la ricerca e il progresso tecnico nell'ambito della valutazione e gestione delle strutture esistenti;
- La numerosità delle informazioni permetterà di condurre delle analisi di tipo statistico che sono alla base dei metodi per la valutazione della sicurezza.







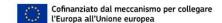
















Conclusioni e sviluppi futuri

- Le attività sperimentali continueranno con ulteriori approfondimenti ed integrazioni come ad esempio:
 - utilizzo di dispositivi innovativi per il monitoraggio (fibre ottiche di nuova generazione, AE, utilizzo di droni,...);
 - studio di elementi trave corrosi artificialmente;
 - > analisi del comportamento al fuoco;
 - > studio di metodologie per il rinforzo.







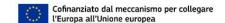












TORINO 13 febbraio 2025



francesco.tondolo@polito.it

Si ringraziano











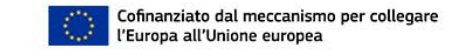














TORINO 13 febbraio 2025













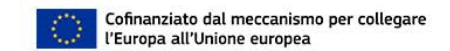












TORINO 13 febbraio 2025



















